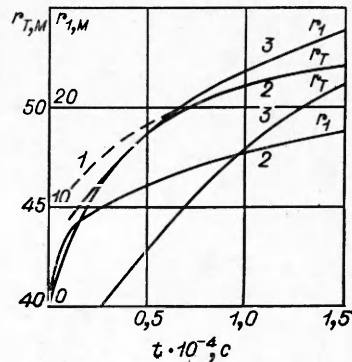


В качестве начальных значений для задачи численного счета при $t = 0$ приняты: $r_{T_0} = 30$ м, $r_1 = 0$, $\alpha = 0,5$, $m = 0$, $\rho_0 = 1,29$ кг/м³. Следовательно, при $t = 0$ $\rho_1 r_1^3 = \frac{3M_0}{4\pi}$.

На фигуре показаны зависимости от времени радиусов фронта тепловой и ударной волн. Кривые 1—3 соответствуют значениям $M_0 = 0$ (автомодельное решение [4]); 0,1 и 10 т. Видно, что выделявшаяся масса существенно влияет на закономерности распространения тепловой и ударной волн.

Поступила 27 XII 1976



ЛИТЕРАТУРА

1. Горбачев Л. П., Федоров В. Ф. О влиянии ударной волны на распространение тепловой. — ПМТФ, 1975, № 3.
2. Pomraning. Early time air fireball model for near surface energy release. — «Nuclear Science and Engineering», 1974, vol. 53, N 2.
3. Седов Л. И. Методы подобия и размерностей в механике. Изд. 7-е. М., «Наука», 1972.
4. Зельдович Я. Б., Райзер Ю. П. Физика ударных волн и высокотемпературных гидродинамических явлений. М., «Наука», 1966.

УДК 533.6.011,534.222.2

РАЗВИТИЕ ДИНАМИЧЕСКИХ ВОЗМУЩЕНИЙ НА НАЧАЛЬНОЙ СТАДИИ ТОЧЕЧНОГО ВЗРЫВА В ТЕПЛОПРОВОДНОМ ГАЗЕ

В. П. Шидловский

(Москва)

Рассматриваются одномерные возмущения, возникающие в холодном однородном газе ($T_1 = 0$, $\rho_1 = \text{const}$) при мгновенном выделении конечной энергии в начале координат. Исходные уравнения составлены для газа, в котором механизм теплопередачи моделируется нелинейной теплопроводностью с коэффициентом $\lambda \sim T^n$. Преобразование уравнений к безразмерной форме с помощью введения «естественных» переменных позволяет указать и простейший путь исследования процесса в целом с помощью метода возмущений. Начальное приближение соответствует известному решению для тепловой волны [1], тогда как последующие приближения описывают совместное развитие как тепловых, так и динамических возмущений. Исследование свойств решений и пример расчета двух первых приближений (не считая начального) для случая точечного сферического взрыва при $n = 5$ дает представление о формировании ударной волны.

При изучении взрыва в газе важное значение имеет учет реальных процессов теплопередачи. Это особенно существенно на самой начальной стадии взрыва, ибо, как показывают наблюдения и теоретические исследования [2], тепловая

волна возникает при взрыве еще до того, как проявляется динамический характер явления. Механизм теплопередачи связан при этом главным образом с влиянием излучения, но если пренебречь давлением и энергией излучения, то вполне приемлемое описание указанного механизма обеспечивается моделью нелинейной теплопроводности. Исследование тепловых волн, возникающих в холодном газе при нелинейной теплопроводности, дается в [1]. Ниже предложен более общий подход, учитывающий не только тепловые, но и динамические процессы.

1. Система уравнений, пригодная для описания одномерных неустановившихся процессов в теплопроводном газе, записывается в виде

$$(1.1) \quad \frac{\partial \rho}{\partial t} + v \frac{\partial \rho}{\partial r} + \rho \left(\frac{\partial v}{\partial r} + \frac{v-1}{r} v \right) = 0, \quad \rho \left(\frac{\partial v}{\partial t} + v \frac{\partial v}{\partial r} \right) + \frac{\partial p}{\partial r} = 0,$$

$$\rho \left(\frac{\partial e}{\partial t} + v \frac{\partial e}{\partial r} \right) + p \left(\frac{\partial v}{\partial r} + \frac{v-1}{r} v \right) = r^{1-v} \frac{\partial}{\partial r} \left[r^{v-1} \lambda \frac{\partial (e/c_V)}{\partial r} \right],$$

$$p = (\kappa - 1) \rho e,$$

где t — время; r — координата; ρ , v , p , e — соответственно плотность, скорость, давление и внутренняя энергия газа ($e = c_V T$); $\kappa = c_p/c_V$; ν — параметр симметрии ($\nu = 1, 2, 3$).

Коэффициент теплопроводности газа λ предполагается выраженным но формуле

$$\lambda = c_V A e^n \quad (A, n = \text{const}).$$

Если начальную температуру газа можно считать равной нулю, то при любом $t > 0$ область возмущенного состояния будет ограничена фронтом возмущений $r = r_f(t)$. В случае точечного взрыва, когда при $t = 0$ в начале координат выделяется конечная энергия E , начальные и граничные условия формулируются в виде

$$(1.2) \quad \left. \begin{aligned} p = e = v = 0, \\ \rho = \rho_1, \quad \lambda \partial e / \partial r = 0 \\ v = \lambda \partial e / \partial r = 0 \end{aligned} \right\} \begin{array}{l} \text{при } t = 0, \\ \text{или } t > 0, \quad r = r_f, \\ \text{при } t > 0, \quad r = 0, \end{array}$$

где начальная плотность ρ_1 будет считаться постоянной. В дополнение к этому должно удовлетворяться интегральное условие постоянства полной энергии возмущенного объема газа

$$(1.3) \quad \xi_\nu \int_0^{r_f} \rho (e + v^2/2) r^{\nu-1} dr = E, \quad \xi_\nu = 2(\nu-1)\pi + (\nu-2)(\nu-3)/2, \quad E =$$

$$= \text{const.}$$

Уравнения (1.1) удобно преобразовать к безразмерной форме, вводя новые аргументы

$$(1.4) \quad \eta = \frac{r}{r_f}, \quad \chi = \frac{A}{(\kappa-1)^n} \frac{U^{2n-1}}{\rho_1 r_f},$$

где $U = dr_f/dt$ — скорость распространения фронта возмущений. Эти аргументы можно назвать естественными, так как первый из них представляет собой нормализованную пространственную координату а второй — это единственная безразмерная комбинация, зависящая от времени и не содержащая координаты r .

Преобразование искомым переменных также осуществляется с помощью введения «естественных» масштабов

$$\begin{aligned}v &= UV(\eta, \chi), \quad \rho = \rho_1 R(\eta, \chi), \quad p = \rho_1 U^2 P(\eta, \chi), \\e &= (\kappa - 1)^{-1} U^2 N(\eta, \chi), \quad \lambda = c_v \rho_1 r_f U \chi N^n(\eta, \chi).\end{aligned}$$

После перехода к новым переменным уравнения (1.1) принимают форму

$$(1.5) \quad \begin{aligned}(V - \eta) \frac{\partial R}{\partial \eta} + K \chi \frac{\partial R}{\partial \chi} + R \frac{\partial V}{\partial \eta} + \frac{\nu - 1}{\eta} R V &= 0, \\R \left[ZV + (V - \eta) \frac{\partial V}{\partial \eta} + K \chi \frac{\partial V}{\partial \chi} \right] + \frac{\partial P}{\partial \eta} &= 0, \\R \left[2ZN + (V - \eta) \frac{\partial N}{\partial \eta} + K \chi \frac{\partial N}{\partial \chi} + (\kappa - 1) N \left(\frac{\partial V}{\partial \eta} + \frac{\nu - 1}{\eta} V \right) \right] &= \\&= \chi \eta^{1-\nu} \frac{\partial}{\partial \eta} \left(\eta^{\nu-1} N^n \frac{\partial N}{\partial \eta} \right), \quad P = RN.\end{aligned}$$

Здесь введены обозначения

$$(1.6) \quad Z(\chi) = (dU/dt) r_f U^{-2}, \quad K(\chi) = (2n - 1)Z(\chi) - 1.$$

Граничные условия, получаемые из (1.2), имеют вид

$$(1.7) \quad \begin{aligned}R = 1, \quad P = N = V = N^n \quad dN/d\eta = 0 \quad \text{при } \eta = 1, \\V = N^n \quad dN/d\eta = 0 \quad \text{при } \eta = 0.\end{aligned}$$

Прежде чем преобразовать условие (1.3), введем новую функцию

$$\Psi(\chi) = \int_0^1 R [(\kappa - 1)^{-1} N + V^2/2] \eta^{\nu-1} d\eta.$$

С учетом обозначений (1.6) условие (1.3) можно представить в форме

$$\chi K d\Psi/d\chi + (2Z + \nu)\Psi = 0.$$

2. Исходя из определения (1.4) переменной χ , заменяющей теперь время, можно заметить следующее. Предел $\chi \rightarrow 0$ соответствует превращению уравнений (1.5) в уравнения адиабатического автомодельного движения газа при сильном взрыве [3]. Физические свойства рассматриваемого явления свидетельствуют о том, что этот предел соответствует бесконечно большому времени, $t \rightarrow \infty$. Вводя естественное допущение о том, что зависимость $\chi(t)$ монотонна, приходим к выводу, что начальная стадия исследуемого процесса соответствует пределу $\chi \rightarrow \infty$. Попытаемся найти предельную форму уравнений (1.5) при больших χ , предполагая, что она не будет содержать явной зависимости от χ и в уравнении энергии должен сохраниться как член, связанный с теплопроводностью, так и член, характеризующий изменения во времени. С этой целью изменим масштабы части искомым переменных, вводя новые функции по формулам

$$(2.1) \quad N = B \chi^\alpha f(\eta, \chi), \quad V = \chi^{\alpha/2} g(\eta, \chi), \quad P = B \chi^\alpha h(\eta, \chi),$$

где B — нормировочная константа ($B = 0(1)$), вводимая для удобства сравнения с полученными ранее решениями. Упомянутое выше условие

относительно порядка величины членов уравнения энергии позволяет найти

$$(2.2) \quad \alpha = -1/n.$$

Уравнения (1.5) с учетом (2.1), (2.2) принимают форму

$$(2.3) \quad \begin{aligned} & (\chi^{-1/2n}g - \eta) \frac{\partial R}{\partial \eta} + K\chi \frac{\partial R}{\partial \chi} + \chi^{-1/2n}R \left(\frac{\partial g}{\partial \eta} + \frac{\nu-1}{\eta} g \right) = 0, \\ & R \left[Zg + (\chi^{-1/2n}g - \eta) \frac{\partial g}{\partial \eta} - \frac{1}{2n} Kg + K\chi \frac{\partial g}{\partial \chi} \right] + \chi^{-1/2n}B \frac{\partial h}{\partial \eta} = 0, \\ & R \left[2Zf + (\chi^{-1/2n}g - \eta) \frac{\partial f}{\partial \eta} - \frac{1}{n} Kf + K\chi \frac{\partial f}{\partial \chi} + \right. \\ & \left. + (\nu-1) \chi^{-1/2n}f \left(\frac{\partial g}{\partial \eta} + \frac{\nu-1}{\eta} g \right) \right] = \frac{B^\nu}{n+1} \eta^{1-\nu} \frac{\partial}{\partial \eta} \left(\eta^{\nu-1} \frac{\partial f^{n+1}}{\partial \eta} \right), \quad h = Rf. \end{aligned}$$

Система (2.3) имеет вид, очень удобный не только для получения предельной формы уравнений при $\chi \rightarrow \infty$, но и для построения решений, соответствующих конечным, хотя и достаточно большим значениям χ . Ряд членов, входящих в уравнения (2.3), содержит множитель $\chi^{-1/2n}$, и естественно попытаться искать решения в форме рядов

$$(2.4) \quad F(\eta, \chi) = F_0(\eta) + \sum_i \chi^{-i/2n} F_i(\eta),$$

где F — любая из функций f, g, h или R . Аналогичные ряды могут использоваться и для представления функций $Z(\chi)$ и $K(\chi)$ при больших χ .

Подставим в уравнения (2.3) представления (2.4) и, переходя к пределу $\chi \rightarrow \infty$, получим уравнения начального приближения, т. е. предельную форму исходных уравнений, соответствующую начальной стадии взрыва:

$$\begin{aligned} \frac{dR_0}{d\eta} &= 0, \quad R_0 \left[\left(Z_0 - \frac{1}{2n} K_0 \right) g_0 - \eta \frac{dg_0}{d\eta} \right] = 0, \\ R_0 \frac{b_\nu}{\nu n + 2} \left[2 \left(Z_0 - \frac{1}{2n} K_0 \right) f_0 - \eta \frac{df_0}{d\eta} \right] &= \eta^{1-\nu} \frac{d}{d\eta} \left(\eta^{\nu-1} \frac{df_0^{n+1}}{d\eta} \right). \end{aligned}$$

Положим, что входящая в формулы (2.1) константа B равна

$$B = \left[\frac{(\nu n + 2)(n + 1)}{b_\nu} \right]^{1/n}, \quad b_\nu^{\frac{\nu n + 2}{2n}} = 2 \left[\frac{2(\nu n + 2)(n + 1)}{n} \right]^{1/n} \Gamma \left(\frac{\nu}{2} + \right. \\ \left. + \frac{n + 1}{n} \right) \left[\Gamma \left(\frac{\nu}{2} \right) \Gamma \left(\frac{n + 1}{n} \right) \right]^{-1}.$$

Учитывая получаемые из (1.7) граничные условия $R_0(1) = 1, g_0(1) = 0$, получим $R_0 \equiv 1, g_0 \equiv 0$.

Обратимся к условию (1.8). В соответствии с (2.1) полагаем

$$(2.5) \quad \Psi(\chi) = \chi^{-1/n} \left(a_0 + \sum_i \chi^{-i/2n} a_i \right),$$

где a_0 и a_i — некоторые числа. В начальном приближении получаем

$$-K_0/n + 2Z_0 + \nu = 0,$$

откуда с учетом (1.6) следует

$$Z_0 = -(vn + 1), K_0 = -n[v(2n - 1) + 2],$$

а в соответствии с определением Z устанавливается и закон движения фронта возмущений

$$r_f = \gamma t^{1/(vn+2)},$$

где постоянный множитель γ может быть выражен через определяющие параметры задачи, включая энергию E .

Таким образом, построение начального приближения сводится к решению единственного уравнения

$$(2.6) \quad \frac{d}{d\eta} \left(\eta^{v-1} \frac{df_0^{n+1}}{d\eta} \right) = - \frac{b_v}{vn+2} \frac{d}{d\eta} (\eta^v f_0)$$

с граничными условиями

$$f_0(1) = (df_0^{n+1}/d\eta)_{\eta=1} = 0.$$

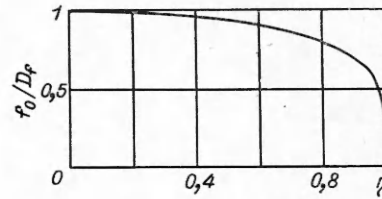
Уравнение (2.6) в точности совпадает с уравнением задачи о тепловой волне [4], которое было получено вне связи с динамической задачей. Решение уравнения (2.6) имеет вид

$$(2.7) \quad f_0 = D_f (1 - \eta^2)^{1/n}, \quad D_f^n = \frac{nb_v}{2(n+1)(vn+2)}.$$

График зависимости $f_0(\eta)$ показан на фиг. 1.

3. Проведем построение функций первого приближения. Из первого уравнения системы (2.3) и из условия $R_1(1) = 0$ можно найти $R_1 \equiv 0$. Для функции f_1 получается уравнение вида

$$(3.1) \quad \eta^{1-v} \frac{d}{d\eta} \left[\eta^{v-1} \frac{d}{d\eta} (f_0^n f_1) \right] = - \frac{b_v}{(n+1)(vn+2)} \left[\eta^{1-v} \frac{d}{d\eta} (\eta^v f_1) - \frac{Z_1}{n} f_0 \right].$$



Ф и г. 1

Параметр Z_1 заранее неизвестен, поэтому представим

$$f_1 = f_{11} + Z_1 f_{12},$$

где f_{11} — решение однородного уравнения, получаемого из (3.1). С учетом (2.7) можно получить $f_{11} = C(1 - \eta^2)^{(1-n)/n}$. Если принять во внимание, что нас интересуют значения $n > 1$, выполнение граничного условия $f_{11}(1) = 0$ оказывается возможным, только если $C = 0$, откуда $f_{11} \equiv 0$.

После этого параметр a_1 (см. (2.5)) можно представить в виде

$$a_1 = Z_1 B (\kappa - 1)^{-1} \int_0^1 f_{12} \eta^{v-1} d\eta = Z_1 k_1.$$

Уравнение (1.8) в рассматриваемом приближении с учетом (2.3) имеет вид

$$(3.2) \quad Z_1 (-K_0 k_1 / 2 + a_0) = 0.$$

В общем случае выражение в скобках в левой части уравнения (3.2) отлично от нуля, откуда следует $Z_1 = 0$, и, таким образом, окончательно имеем $\dot{f}_1 \equiv 0$.

При учете результатов нулевого приближения функция $g_1(\eta)$ определяет собой главный член выражения для скорости газа. Для определения g_1 получаем уравнение (штрих означает дифференцирование по η)

$$(3.3) \quad \eta g_1' - [v(n-1) + 1] g_1 = B f_0'.$$

После интегрирования (3.3) с учетом граничного условия получим

$$(3.4) \quad g_1 = B \eta^{v(n-1)+1} \int_1^\eta f_0' \eta^{-[v(n-1)+2]} d\eta.$$

Обращаясь к выражению (2.7) и вводя обозначение

$$(3.5) \quad x = (1 - \eta^2)^{1/n},$$

можем переписать (3.5) в несколько ином виде

$$(3.6) \quad g_1 = D_f B \eta^{v(n-1)+1} \int_0^x (1 - x^n)^{-\frac{1}{2}[v(n-1)+2]} dx.$$

Если n — нечетное целое число, то квадратура в правой части (3.6) может быть вычислена аналитически, в общем же случае следует прибегать к численному методу. Можно указать на некоторые характерные особенности функции $g_1(\eta)$, проявляющиеся при любых v и любых $n > 1$.

В центре взрыва формула (3.6) дает $g_1(0) = 0$, при конечной производной

$$g_1'(0) = \frac{2}{n(n-1)v} B D_f.$$

В окрестности фронта $g_1(\eta)$ ведет себя так же, как и $f_0(\eta)$, т. е. как $(1 - \eta^2)^{1/n}$.

График функции $g_1(\eta)$ при $v = 3$, $n = 5$ показан на фиг. 2. Несмотря на то, что эта функция характеризует «малое возмущение», по своему виду она очень напоминает разрывную функцию адиабатического движения.

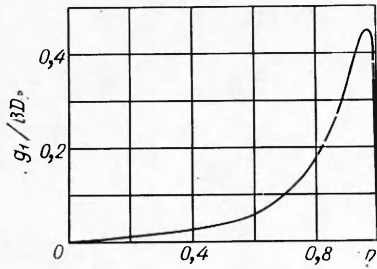
Главный член динамического возмущения плотности выражается функцией $R_2(\eta)$. Уравнение для определения этой функции имеет форму

$$(3.7) \quad \eta R_2' + n^{-1} K_0 R_2 - \eta^{1-v} (\eta^{v-1} g_1)' = 0.$$

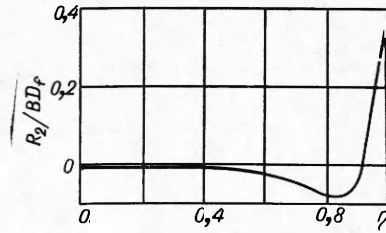
При условии $R_2(1) = 0$ решение уравнения (3.7) можно представить в виде

$$(3.8) \quad R_2 = -\frac{vn}{vn+2} \frac{g_1}{\eta} + \frac{2(vn+1)}{vn+2} B D_f \eta^{v(2n-1)+2} \int_0^x (1 - x^n)^{-\frac{1}{2}[v(2n-1)+4]} dx,$$

где вновь использована подстановка (3.5). Как и при определении g_1 , решение свелось к одной квадратуре.



Ф и г. 2



Ф и г. 3

Пользуясь (3.8), укажем на некоторые свойства функции $R_2(\eta)$. Как и функция $g_1(\eta)$, на фронте возмущений она обращается в нуль и ведет себя в окрестности этой точки, как $(1 - \eta^2)^{1/n}$. К центру она приходит с нулевой производной, принимая там конечное значение

$$R_2(0) = -2BD_f/n(n - 1)[v(2n - 1) + 2].$$

Результат численного расчета функции $R_2(\eta)$ при $v = 3$ и $n = 5$ представлен на фиг. 3; видно, что на значительной части возмущенной области величина R_2 меняется несущественно, сохраняя малые отрицательные значения. Основные же изменения происходят вблизи фронта, причем, как и в случае скорости, волна сжатия во фронтальной зоне сильно напоминает ударную волну.

Желая выяснить тенденцию развития динамического возмущения температуры, следует определить функцию $f_2(\eta)$, удовлетворяющую уравнению

$$(3.9) \quad B^n \eta^{1-v} [\eta^{v-1} (f_0' f_2)'] + \eta^{2v(n-1)+3} [\eta^{-2[v(n-1)+1]} f_2'] = \\ = n^{-1} Z_2 f_0 - R_2 \eta^{1-v} (\eta^v f_0)' + g_1 f_0' + (\kappa - 1) \eta^{1-v} f_0 (\eta^{v-1} g_1)'$$

Граничные условия для $f_2(\eta)$ получаются из (1.7) в виде

$$f_2(1) = 0, \quad (1 - \eta^2) f_2'(\eta) = 0 \quad \text{при } \eta = 0 \text{ и } \eta = 1.$$

Параллельно с определением $f_2(\eta)$ нужно найти и величину Z_2 , поэтому вновь используется представление

$$f_2 = f_{21} + Z_2 f_{22}.$$

Обращаясь к представлению $\Psi(\chi)$, согласно (2.5), положим также

$$a_2 = a_{21} + Z_2 a_{22},$$

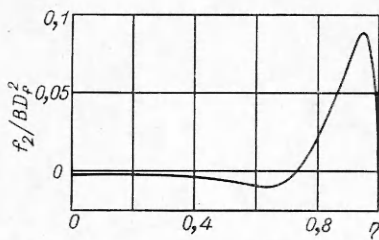
где

$$a_{21} = \int_0^1 [B(\kappa - 1)^{-1} (f_0 R_2 + f_{21}) + g_1^2/2] \eta^{v-1} d\eta;$$

$$a_{22} = B(\kappa - 1)^{-1} \int_0^1 f_{22} \eta^{v-1} d\eta.$$

Если функции f_{21} и f_{22} определены, то можно найти и величины a_{21} и a_{22} , после чего с помощью (1.8) получаем

$$Z_2 = a_{21} K_0 / (a_0 - a_{22} K_0).$$



Ф и г. 4

График функции $f_2(\eta)$ при тех же параметрах $\nu = 3$ и $n = 5$ показан на фиг. 4. Число граничных условий для уравнений (3.3), (3.9) на единицу больше порядка самих уравнений. Выполнение «лишних» граничных условий обеспечивается здесь за счет свойств самих уравнений, однако в принципе мы не обязаны ограничивать себя поисками решений лишь в классе непрерывных функций. Как из теоретических рассуждений, так и из анализа экспериментальных данных известно (см., например, [2]), что в области между центром взрыва и фронтом возмущений при определенных условиях могут возникать сильные разрывы. В условиях выбранного примера и в рамках рассмотренных здесь приближений указанные разрывы не обнаруживаются.

Поступила 24 XII 1976

ЛИТЕРАТУРА

1. Зельдович Я. Б., Райзер Ю. П. Физика ударных волн и высокотемпературных гидродинамических явлений. М., «Наука», 1966.
2. Коробейников В. П. Задачи теории точечного взрыва в газах.— «Труды МИАН им. Стеклова», 1973, т. 119.
3. Седов Л. И. Методы подобия и размерности в механике. М., «Наука», 1967.
4. Баренблатт Г. И. О некоторых неустановившихся движениях жидкости и газа в пористой среде.— ПММ, 1952, т. 16, вып. 1, с. 67—78.

УДК 532.517.4

ПРЕДСТАВЛЕНИЕ ВЗАИМОДЕЙСТВИЯ В ТЕОРИИ ТУРБУЛЕНТНОСТИ

Г. А. Кузьмин, А. З. Паташинский

(Новосибирск)

В основе феноменологической теории локальной структуры турбулентности [1] лежит представление, что в турбулентном потоке обмениваются энергией лишь пульсации близких масштабов. Предположение о случайном характере обмена энергией приводит к выводу об универсальности и подобии статистического режима пульсаций малых масштабов. В эйлеровых уравнениях движения наряду с взаимодействиями, осуществляющими обмен энергии между пульсациями, имеются фиктивные взаимодействия, связанные с переносом пульсаций данного масштаба l пульсациями масштабов $l' \gg l$. Как подчеркивалось в работах [2, 3], при эйлеровом описании турбулентности эффект переноса приводит к сильной статистической зависимости пульсаций различных масштабов. Поэтому свойства универсальности и подобия мелкомасштабных пульсаций могут наблюдаться лишь в переменных, в которых отсутствуют эффекты чистого переноса одних пульсаций другими. В связи с этим в работах [1—3] приведены качественные соображения о необходимости описания мелкомасштабных пульсаций в системе отсчета, движущейся в каждой точке со всеми крупномасштабными пульсациями. В данной работе показывается, что такое описание мелко-